

54
A 89

МИНИСТЕРСТВО ВЫСШЕГО И СРЕДНЕГО СПЕЦИАЛЬНОГО
ОБРАЗОВАНИЯ УзССР

Ташкентский Политехнический Институт

М. МАМАДАЛИЕВ

НИНЕТИКА КАТАЛИТИЧЕСКОЙ ГИДРОГЕНИЗАЦИИ
и 3 — НЕПРЕДЕЛЬНЫХ АЛЬДЕГИДОВ

(542.541.7—Каталитическое гидрирование)

071 Аналитическая химия

АВТОРЕФЕРАТ
диссертации на соискание ученой степени
кандидата химических наук

ТАШКЕНТ 1962

СК

Работа выполнена на кафедре аналитической химии Ташкентского политехнического института в период 1964-1967 г.

Научные руководители:

1. Доктор химических наук, профессор А.Л.Маркман,
2. Кандидат химических наук, доцент Э.В.Зинкова.

Официальные оппоненты:

1. Доктор химических наук, профессор Х.Р.Рустамов,
2. Кандидат технических наук, доцент А.И.Глущенкова.

Ведущее предприятие - Среднеазиатский научно-исследовательский институт нефтеперерабатывающей промышленности.

Автореферат разослан "18" апреля 1969 г.

Защита диссертации состоится "2-9" поздняка мац 1969 г.
на заседании Ученого Совета Химико-технологического факультета ТашИИ.

С диссертацией можно ознакомиться в библиотеке
Ташкентского политехнического института.

Вами отзывы и замечания (в двух экземплярах) просим
направлять по адресу: г. Ташкент, ул. А.Навои, 18, комн. 24,
Ташкентский политехнический институт.

Ученый секретарь
Совета ТашИИ

Маркман
А.Л. Маркман (Ф.И.О.)

Центральная научная
БИБЛИОТЕКА
Академии наук Киргизской ССР

54

A 29

- 3 -

Представляет определенный интерес вопрос о направлении процесса гидрогенизации в случае наличия в молекуле двух и более центров ненасыщенности. Он решается по-разному в зависимости от строения молекулы, природы ненасыщенных группировок (этиленовая связь, карбонильная группа, азогруппа и т.д.), от взаимного их расположения и от их положения по отношению к другим функциональным группам.

Задачей нашей работы было уточнение направления и характера катализитической гидрогенизации α,β -непредельных альдегидов путем изучения изменения состава реакционной смеси по ходу процесса насыщения.

Методом определения состава была выбрана полярография, позво-
ляющая с достаточной точностью и быстротой количественно анализи-
ровать состав многокомпонентных смесей на весьма небольших коли-
чествах вещества.

В первой главе литературного обзора освещены некоторые рабо-
ты по полярографии альдегидов, наиболее интересные или имеющие не-
посредственное отношение к нашему исследованию. Несмотря на то,
что объекты нашего исследования коричный, кротоновый альдегиды и
акролеин, изучены довольно детально в отношении их полярографическо-
го поведения, никто до нас неставил себе задачей разработать по-
лярографический метод анализа смесей данных альдегидов с продукта-
ми частичного их насыщения. Поэтому разработка таких методик явилась
нашей первой задачей.

Вторая глава литературного обзора посвящена вопросу гидрогени-
зации альдегидов и в частности α,β -непредельных альдегидов.

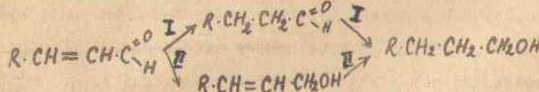
В ней показано, что суждения о направлении и селективности процесса в большинстве случаев недостаточно обоснованы. Они базируются не на прямом изучении изменения состава гидрогенизаторов по ходу процесса, а на измерении сопутствующих явлений, как-то: скорости процесса в отдельные моменты времени, смещений потенциала поверхности катализатора и т.д. В некоторых случаях констатируется исчезновение в какой-то момент этиленовых связей в реакционной смеси или, наоборот, исчезновение карбонильной группы. Однако при этом остается невыясненным, носит ли процесс строго селективный или лишь частично селективный характер.

Объектами нашего исследования явились акролеин, кротоновый и коричный альдегиды, у которых оба центра ненасыщенности (этиленовая связь и карбонильная группа) находятся в сопряжении.

Условия опытов были унифицированы: работа проводилась с одинаковыми концентрациями исходных веществ - 5 мМ/л, всегда в одном и том же растворителе - спирте, с катализатором FeCl_3 при 25°C. Аппаратура с некоторыми изменениями такая же, как в классических опытах С.В.Лебедева.

По ходу гидрогенизации отбирались и анализировались 7-10 проб.

На основе разведочных опытов установлена консеквативность про текания реакции гидрогенизации по общей схеме:



Следовательно, в отобранных образцах можно ожидать присутствие четырех компонентов: непредельного и предельного альдегидов, непредельного и предельного спиртов. Те же разведочные опыты пока-

зали, что гидрогенизация акролеина и кротонового альдегида идет только по направлению I-I; в основном по тому же пути идет и гидрогенизация коричного альдегида, хотя на промежуточных стадиях процесса обнаруживается присутствие следов коричного спирта.

В экспериментальной части работы первым объектом исследования являлся коричный альдегид. Для смесей коричного, гидрокоричного альдегидов с коричным спиртом был разработан следующий метод анализа: отобранная по ходу гидрогенизации пробы делилась на три равные части, каждая из которых полярографировалась в различных условиях: первая - в 0,1 н. NH_4Cl и 50%-ном спирте, причем получается суммарная волна всех трех компонентов; вторая - в 0,1 н. LiCl и 50%-ном спирте - волна только коричного спирта; и третья часть полярографируется после осаждения обоих альдегидов 2-4-динитрофенолгидразином в солянокислой среде; при этом определяется невступивший в реакцию избыток осадителя, что дает возможность определить суммарное количество обоих альдегидов. На основании показателей полярографирования рассчитывался состав смеси.

Анализ отобранных образцов одного из опытов дал результаты, представленные в табл. I.

Таблица I.

№	Рабочая концентрация компонентов проб: H_2O_2 в %	Концентрация компонентов: мМ/л	Концентрация компонентов: %								
			теорет: к.а.: г.к.а.: к.с.: г.к.с.: к.а.: г.к.а.: к.с.: г.к.с.	к.а.: г.к.а.: к.с.: г.к.с.: к.а.: г.к.а.: к.с.: г.к.с.	к.а.: г.к.а.: к.с.: г.к.с.: к.а.: г.к.а.: к.с.: г.к.с.	к.а.: г.к.а.: к.с.: г.к.с.: к.а.: г.к.а.: к.с.: г.к.с.	к.а.: г.к.а.: к.с.: г.к.с.: к.а.: г.к.а.: к.с.: г.к.с.	к.а.: г.к.а.: к.с.: г.к.с.: к.а.: г.к.а.: к.с.: г.к.с.	к.а.: г.к.а.: к.с.: г.к.с.: к.а.: г.к.а.: к.с.: г.к.с.		
1	0	4,75	0	0	100	0	0	0	0	0	0
2	9,1	3,73	0,62	0,106	0,294	78,5	18,0	2,8	6,2		
3	24,0	2,26	1,49	0,100	0,90	47,7	31,3	2,1	18,9		
4	40,8	2,04	1,26	0,100	1,85	43,1	26,5	2,1	28,3		
5	58,4	1,76	0,84	0,085	2,11	37,0	17,7	0,8	44,5		
6	78,6	1,26	0,54	0,018	2,98	26,5	11,3	0,4	71,8		
7	95,0	0,47	0,33	0	3,95	9,8	6,9	0	88,3		

На график для определения степени селективности процесса или, другими словами, показателя распределения водорода между коричным и гидрокоричным альдегидами наносили содержание в гидрогенизатах коричного альдегида (к.а.) и суммарного содержания гидрокоричного альдегида с коричным спиртом (г.к.а. и к.с.). Содержание гидрокоричного спирта не находит себе отражения на графике, поскольку он в реакции гидрогенизации не участвует и является "инертной примесью" (рис. I).



Рис. I
Кинетика насыщения коричного альдегида

Полученная плавная кривая АРО говорит о предпочтительном насыщении гидрокоричного альдегида по сравнению с коричным.

Значение α - (коэффициента распределения водорода) рассчитано графоаналитическим методом по отношению площадей:

$$\alpha = \frac{\text{пл. АВОРА}}{\text{пл. АРОА}} = \frac{0,5309}{0,2576} = 2,06.$$

Для экстремальной точки найдено $X_{\alpha} = 27$ и $Y_{\alpha} = 52$, отсюда $\alpha = \frac{52}{27} = 1,93$ и, наконец, расчетным способом получено $\alpha = 1,75$.

Найденные тремя различными методами значения α (2,06; 1,93 и 1,75) достаточно близки между собой, что можно без большой

ошибки считать, что скорость насыщения гидрокоричного альдегида в условиях наших опытов (*Руф* - катализатор, $t = 25^{\circ}\text{C}$) приблизительно двое больше скорости насыщения коричного альдегида.

Такое явление, когда мононепредельное соединение гидрируется быстрее, чем двунепредельное, предстаётся на первый взгляд странным, однако явления такого рода отмечались в литературе и до нас.

Вторым изученным альдегидом был акролеин. Ни на одной стадии процесса не было обнаружено даже следов аллилового спирта; следовательно, в смеси необходимо определять только акролеин и пропионовый альдегиды. Для этого была разработана следующая методика: исследуемая смесь поляграфировалась в О, I и II в. *ЛСС*: первая волна, получающаяся на поляограмме, отвечает содержанию акролеина, а вторая - сумме акролеина и пропионового альдегида.

Анализ отобранных образцов одного из опытов по гидрированию акролеина дал следующие результаты, представленные в табл. 2.

Таблица 2.

№ №	Расход H_2	Концентрация компонентов:			Концентрация компонентов, в %		
		%	акролеин	пропионовый	пропаналь	акро-	пропион-
и	и	и	и	и	и	и	и
I	0	0	4,82	-	-	100	-
2	21,05	8,8	3,94	0,74	0,14	81,7	15,7
3	48,27	18,0	3,27	1,22	0,83	67,8	26,0
4	66,79	27,8	2,50	1,58	0,64	58,9	38,6
5	91,79	38,2	1,88	2,00	0,94	39,0	42,6
6	118,45	49,3	1,16	2,42	1,24	24,1	51,5
7	147,02	66,1	0,55	2,48	1,84	11,4	51,5
8	177,78	78,9	0,12	2,08	2,62	2,5	44,3
9	211,11	87,8	0	0,92	3,90	0	19,5
10	322,92	96,3	0	0	4,82	0	100

На графике рис.2 для определения селективности процесса нанесены показатели трех опытов, характеризующие содержание альдегидов на разных стадиях процесса. По отношению площадей находим показатель селективности

$$\alpha = \frac{\text{пл. АВОГА}}{\text{пл. АГОА}} = \frac{0,2495}{0,5357} = 0,466$$

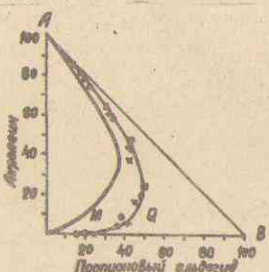


Рис. 2
Кинетика насыщения акролеина

показатель, найденный расчетным путем, равен 0,460.

Сходимость этих цифр достаточно хороша, а значение α показывает, что акролеин в условиях наших опытов гидрируется по этиленовой связи с превращением в пропионовый альдегид приблизительно вдвое быстрее, чем пропионовый альдегид по карбонилу с превращением в пропанол.

Третим объектом исследования явился кротоновый альдегид.

Кротоновый и масляный альдегиды, которые находятся в смеси в разные моменты гидрогенации, полярографически определяются в 0,02M водном растворе LiOH .

Масляный альдегид дает в этих условиях одну волну с потенциалом полуволны таким же, как у второй волны кротонового альдегида.

Анализ образцов проб, отобранных по ходу одного из опытов гидрогенации кротонового альдегида, приведен в табл.3 и на рис. 3.

Таблица 3.

№	Расход H_2 мл	%	Концентрация компонентов, мМ/л		Концентрация компонентов, в %		
			крото- : масля- : бутанол:		крото- : масля- : бутанол:		
			новый	альде-	новый	альде-	альде-
I	0	0	5,00	0	0	100	0
2	21,05	8,2	8,94	1,06	0	78,8	21,7
3	48,27	16,9	8,28	1,61	0,16	64,6	32,2
4	66,79	26,4	2,47	2,26	0,27	49,4	45,2
5	91,79	35,2	1,52	3,10	0,88	30,4	62,0
6	118,45	46,2	0,82	3,63	0,55	16,4	72,6
7	147,02	57,8	0	4,01	0,99	0	80,2
8	165,48	64,5	0	3,48	1,52	0	69,6
							80,4

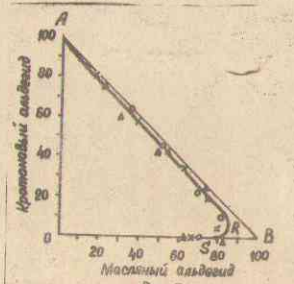


Рис. 3
Кинетика насыщения кротонового альдегида

Показатель распределения водорода, полученный из отношения площадей равен -

$$\alpha = \frac{\text{пл. ABSR A}}{\text{пл. ARS OA}} = \frac{0,0446}{0,7512} = 0,059.$$

Найденное расчетным методом значение $\alpha = 0,060$ очень близко к полученному из отношения площадей.

Из рис.3 и по значению величины α видно, что гидрогенизация кротонового альдегида идет с высокой степенью селективности. На значительном протяжении процесса гидрируется только этиленовая связь. Когда же в реакционной смеси накапливается весьма значительное количество масляного альдегида, его участие в процессе становится заметным. К моменту, когда накапливается около 80% масляного альдегида, кротоновый практический вовсе не остается, и далее, процесс гидрогенизации идет по прямой $y = 50$ за счет гидрогенизации по карбонильной группе.

Последняя глава работы посвящена обсуждению результатов экспериментальной части ее. В ней отмечается, что насыщение всех трех альдегидов идет, в основном, по одной и той же схеме: непредельный альдегид \longrightarrow предельный альдегид \longrightarrow первичный спирт, т.е. в первую очередь за счет этиленовой связи, однако с весьма различными скоростями и с резко различной селективностью.

Несмотря на огромную разницу в значениях коэффициентов распределения водорода у двух алифатических альдегидов (у акролеина он в 8 раз больше, чем у кротонового альдегида), все же им им присуща одна общая черта: этиленовая связь гидрируется предпочтительнее карбонильной группы, и потому $\alpha < 1$. У коричного же альдегида

$\alpha > 1$, в соответствии с чем карбонил гидрируется быстрее этиленовой связи.

На рис.4,5,6 даны кривые насыщения трех альдегидов, построенные по экспериментально найденным точкам и теоретические кривые,

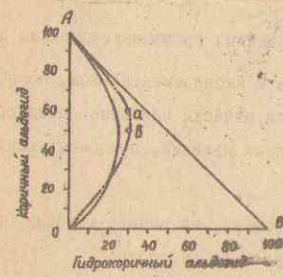


Рис.4
Кинетические кривые насыщения коричного альдегида
— теоретическая,
— экспериментальная

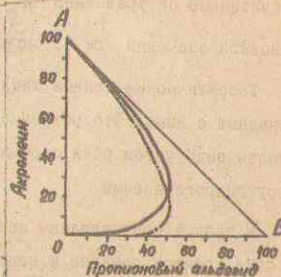


Рис.5
Кинетические кривые насыщения акролеина
— теоретическая,
— экспериментальная

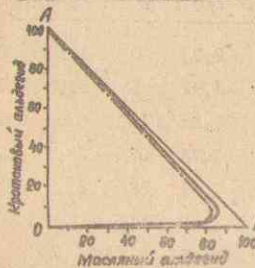


Рис.6
Кинетические кривые насыщения кротонового альдегида
— теоретическая,
— экспериментальная

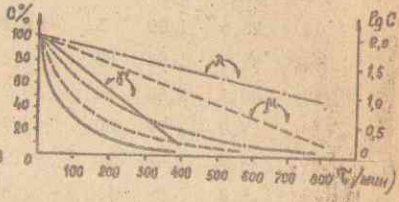


Рис.7
Кинетические кривые: с-T-по нулевому порядку
— коричный альдегид,
— акролеин,
— кротоновый альдегид

расчитанные по уравнению $\chi = \frac{Y}{\alpha - 1} [1 - (0,01Y)^{\alpha - 1}]$ с подстановкой значений α , определенных графоаналитическим методом

теоретические кривые близки к экспериментальным, но не совпадают с ними. Это объясняется отчасти ошибками определений и отчасти недочетом роли сорбционных явлений, предшествующих процессу гидрогенизации.

В табл. 4 приведены показатели, на основе которых определены были порядок реакции и константы ее скорости:

Таблица 4.

Коричный альдегид : Акролеин			Кротоновый альдегид		
$\tau : C : \log C$	$\tau : C : \log C$	$\tau : C : \log C$	$\tau : C : \log C$	$\tau : C : \log C$	$\tau : C : \log C$
0 100 2,0	0 100 2,0	0 100 2,0	0 100 2,0	0 100 2,0	0 100 2,0
10 78,5 1,89	5 88,2 1,92	5 81,0 1,91	5 81,0 1,91	5 81,0 1,91	5 81,0 1,91
80 47,7 1,68	85 71,2 1,85	15 60,4 1,78	15 60,4 1,78	15 60,4 1,78	15 60,4 1,78
180 43,1 1,63	90 53,7 1,78	37 38,5 1,59	37 38,5 1,59	37 38,5 1,59	37 38,5 1,59
300 37,0 1,57	180 40,7 1,61	88 21,9 1,84	88 21,9 1,84	88 21,9 1,84	88 21,9 1,84
480 26,5 1,42	290 26,8 1,43	247 6,1 0,79	247 6,1 0,79	247 6,1 0,79	247 6,1 0,79
600 9,8 0,99	405 12,8 1,11				
	570 2,6 0,41				

На основании этих показателей были построены графики (на рис. 7), связывающие концентрации альдегидов в реакционной смеси со временем, протекшим от начала процесса. Каждому из изученных альдегидов соответствуют две линии: одна — построенная по уравнению реакций нулевого порядка ($C - \tau$) и другая — по уравнению реакции первого порядка ($\log C - \tau$). Из ортогональных линий четко определяют-

ся, что насыщение этиленовой связи в непредельном альдегиде идет по уравнению реакции первого порядка. Измерив углы, образованные прямыми $\log C - \tau$ с осью абсцисс с учетом соотношения масштабов определяем по их тангенсам константы скорости реакции $K = -tgy$.

Найденные значения константы скорости полунасыщения трех изученных непредельных альдегидов в сопоставлении с показателями селективности процесса их гидрирования представлены в табл. 5.

Таблица 5.

Альдегид	α	$K \cdot 10^{-5}$
Коричный	2,069	2,77
Акролеин	0,466	4,54
Кротоновый ...	0,059	10,92

Из таблицы видно, что чем больше значение показателя селективности α , тем меньше константа скорости полунасыщения непредельного альдегида. Это совершенно закономерно, так как, чем больше значение " α ", тем быстрее идет насыщение предельного альдегида, т.е. быстрее идет гидрогенизация по карбонильной группе.

Это значит, что тем меньше водорода приходится на долю этиленовой группы, тем медленнее идет превращение непредельного альдегида в предельный, тем меньше значение " K ".

Однако не нужно думать, что соотношение значений " K " для ряда альдегидов обратно пропорционально соотношению значений " α ". В данном случае можно говорить только о некоторой общей тенденции, что и проявляется в соотношениях: $\alpha_1 : \alpha_2 : \alpha_3 = 35 : 8 : 1$.

$$K_1 : K_2 : K_3 = 1 : 1,8 : 8,9$$

Из сказанного можно сделать еще одно заключение: присутствие в растворе, кроме исходного непредельного соединения, еще одного

непредельного соединения (в нашем случае продуктов полугидрирования) изменяет характер процесса насыщения исходного вещества.

Скорость реакции и константа ее была бы иной, значительно большей, если б оно гидрировалось в отсутствии конкурента.

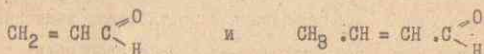
Сказанное в равной мере относится и к условиям гидрогенизации продукта полунасыщения (в нашем случае, предельного альдегида). Скорость его превращения в присутствие соединения с двумя центрами ненасыщенности будет иной, чем в отсутствии конкурентов.

Таким образом, каждое из двух соприсутствующих непредельных соединений ингибитирует процесс насыщения второго, занимая часть активных центров на поверхности катализатора.

Последний вопрос, освещенный в диссертации, это вопрос о причинах различного поведения в процессе их гидрогенизации трех альдегидов, построенных по общему плану.

Конечно, такой причиной являются различия в деталях строения молекул этих альдегидов, несмотря на общность плана. В соответствие с учением А.М.Бутлерова, каждая деталь строения молекулы так или иначе отражается на поведении молекулы в целом и отдельных группировок и атомов в ней.

При сравнении двух алфатических альдегидов — акролеина и кротонового:

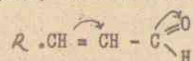


видно, что у обоих альдегидов по одну сторону от двойной связи лежат одинаковые группировки $= \text{CH} \cdot \text{C} \begin{array}{l} \diagup \\ \text{H} \end{array} ^0$, а по другую разные:

$\text{CH}_2 =$ и $\text{CH}_3 \cdot \text{CH} =$. Очевидно, повышенная реакционная способность кротонового альдегида по сравнению с акролеином (большая

константа скорости насыщения этиленовой связи) должна обуславливаться именно заменой метиленовой группы на метилметиленовую.

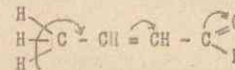
В α, β -непредельных альдегидах двойная углерод-углеродная связь находится в сопряжении с двойной углерод-кислородной связью карбонила. В таких соединениях π -электронное облако этиленовой связи смещается в сторону наиболее электроотталкительного атома — кислорода, что может быть представлено такой схемой:



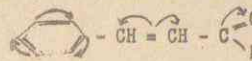
Поведение такой молекулы зависит от поведения группы "R" (в нашем случае $R = \text{H}, \text{CH}_3, \text{C}_6\text{H}_5$). В случае акролеина электронное облако распределяется между всеми атомами сопряженной системы:



В случае кротонового альдегида углерод-углеродная двойная связь оказывается сопряженной с электроакцепторной группой — карбонилом, и электрононодонорной метильной группой:



В коричном альдегиде этиленовая связь является электрононодором по отношению к фенилу и к карбонилу. По-видимому, здесь имеет место такое смещение электронной плотности:



В результате смещения электронов по двум направлениям элект-

роная плотность на углеродных атомах этиленовой группировки в коричном альдегиде должна свестись к минимуму.

Эти соображения о строении молекул трех альдегидов говорят о том, что наибольшая электронная плотность присуща этиленовой связи кротонового альдегида, она меньше у акролеина и еще меньше у коричного альдегида. Именно в такой последовательности падают константы скорости гидрогенизации этих альдегидов и возрастает показатели селективности их насыщения.

Из сказанного можно сделать следующие выводы:

1. Исследована кинетика каталитической гидрогенизации трех α , β -непредельных альдегидов: акролеина, кротонового и коричного. Установлено, что в основном процесс идет по схеме: непредельный альдегид \longrightarrow предельный альдегид \longrightarrow первичный спирт.

2. Только в случае кротонового альдегида процесс идет почти строго селективно с преимущественным насыщением этиленовой связи. В случае акролеина одновременно гидрируются непредельный и предельный альдегиды, причем скорость насыщения этиленовой связи почти вдвое превышает скорость превращения карбонила в карбинол. Обратное отношение скоростей наблюдается в процессе гидрирования коричного альдегида: здесь реакция по карбонилу идет почти вдвое быстрее, чем по этиленовой связи.

3. Определены показатели селективности процессов гравиметрическим и расчетным методами. Они равны 0,059 - для кротонового альдегида, 0,466 - для акролеина и 2,069 - для коричного альдегида.

4. Установлено, что процесс насыщения этиленовой связи проходит, как реакция первого порядка с константами скорости соот-

ветственно 10,92; 4,54 и 2,77.

5. Теоретические кинетические кривые близки к эмпирическим, но не вполне с ними совпадают, что объясняется ошибками опытов и недочетом влияния избирательной сорбции на концентрацию реагирующих веществ на поверхности катализатора.

6. Высказаны соображения о влиянии структуры электронного облака в молекулах трех альдегидов на скорость и селективность процесса гидрогенизации каждого из них.

Основное содержание диссертационного материала было опубликовано в статьях:

1. Кинетика гидрогенизации α , β -непредельных альдегидов. Узб.Хим.И. № 2, 1969 г.

2. Полярографическое исследование каталитической гидрогенизации α , β -непредельных альдегидов. К. Изв.ВУЗов, Серия "Химия и химическая технология" (в печати)

Материалы диссертации были доложены:

1. На X научно-теоретической конференции профессорско-преподавательского состава Андижанского Гос.Пед.Ин-та, ноябрь 1967 г. г.Андижан.

2. На XXXII научно-теоретической и технической конференции профессорско-преподавательского состава ТашИИ, ХТФ, апрель, 1968 г. г.Ташкент.

3. На второй научно-теоретической республиканской конференции молодых ученых и аспирантов, посвященной 50-летию Ленинского комсомола, май 1968 г., г.Андижан Центральная научная

БИБЛИОТЕКА

Академии наук Киргизской ССР

Р06369 . Подписано к печати 21/II-69года.
Заказ № 133. Объем 1,25 печ.листов. Тираж 200 экз.

Отпечатано на ротатпринте в типографии ТашПИ.
г.Ташкент, Якуба Коласа, 16.